

УДК

Уравнения Дайсона-Швингера и свойства ρ -мезона

О. П. СОЛОВЦОВА

Введение. В современной теории сильных взаимодействий – квантовой хромодинамике (КХД), непертурбативные эффекты играют решающую роль как с точки зрения ответа на фундаментальные вопросы, например, объяснение конфайнмента кварков и глюонов, так и для описания феноменологии адронов и соотношении теоретических результатов с экспериментальными данными. Разработке непертурбативных методов в квантовой теории поля уделяется большое внимание. Одно из направлений основано на использовании непертурбативных решений уравнений Дайсона-Швингера (ДШ). В данной работе предложен подход определения характеристик ρ -мезона в рамках метода правил сумм КХД [1,2] на основе решений уравнений ДШ.

Непертурбативный инвариантный заряд и масса кварков. В широко распространенных потенциальных моделях, описывающих свойства систем из легких кварков, используется, так называемая, конституентная масса кварка, величина которой имеет порядок 300 МэВ. Наряду с этим в КХД расчетах используются массы токовых кварков, имеющие на масштабе $1 \div 2$ ГэВ значения порядка нескольких МэВ (масса u -кварка составляет $1,5 \div 4$ МэВ, а d -кварка $4 \div 8$ МэВ [3]). Взаимосвязь между конституентной и токовой массами носит непертурбативный характер и в настоящее время не достаточно изучена. Для анализа этой проблемы используем непертурбативные решения уравнений ДШ. На основе таких решений в работах [4,5,6] (см. также обзор [7]) были получены зависимости инвариантного заряда и массовой функции легких кварков от безразмерного импульсного аргумента x . Для того чтобы соотнести безразмерный аргумент x с физическим импульсным масштабом привлекается дополнительная информация, например, проводится нормировка на какие-то экспериментальные значения. На рис. 1 и 2 представлены результаты решений уравнений ДШ, а сплошные линии – это результат фитирования.

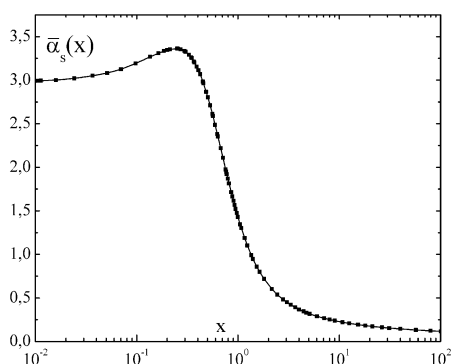


Рисунок 1 – Инвариантный заряд

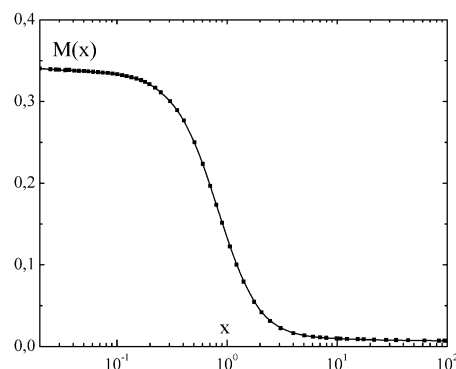


Рисунок 2 – Массовая функция

Рис. 1 демонстрирует конечное значение инвариантного заряда в инфракрасной области. Аналогичная инфракрасная “заморозка” возникает и в ряде теоретических методов, например, в предложенном в [8,9] методе непертурбативного a -разложения и в аналитическом подходе в КХД [10,11].

Схемы перенормировок. Существуют различные ренормировочные предписания, но нет каких-либо общих принципов, основываясь на которые можно было бы отдать предпо-

чение какой-то схеме перенормировок. Выбор схемы, как правило, связан с конкретной задачей. Получим правила пересчета от одной используемой схемы перенормировки к другой. Здесь нам понадобится фактор пересчета от MOM ренормализационной схемы, которая использовалась в решеточных расчетах [12], к модифицированной схеме минимальных вычитаний \overline{MS} . Этот фактор регулирует импульсный масштаб и связывает масштабные параметры КХД Λ в MOM и \overline{MS} схемах следующим образом

$$\Lambda_{\overline{MS}}^2 = k_{MOM \rightarrow \overline{MS}}^{-1} \Lambda_{MOM}^2. \quad (1)$$

где

$$k_{MOM \rightarrow \overline{MS}} = \exp\left(\frac{70}{3\beta_0}\right), \quad (2)$$

$\beta_0 = 11 - 2n_f/3$ – однопетлевой коэффициент ренормгрупповой β -функции.

При суммировании пороговых сингулярностей, которое проводится в этой работе, требуется переход к V схеме [13]. Соответствующая взаимосвязь масштабных параметров имеет вид

$$\Lambda_V^2 = k_{\overline{MS} \rightarrow V}^{-1} \Lambda_{\overline{MS}}^2, \quad k_{\overline{MS} \rightarrow V} = \exp\left(-\frac{7}{\beta_0}\right). \quad (3)$$

Переход от безразмерного аргумента x , который фигурирует в решениях уравнений ДШ, к размерным физическим величинам осуществляется с помощью некоторого масштабного параметра η , который появляется и в уравнении для полюсной массы кварка m , определяемой как положение полюса кваркового пропагатора: $M_{\text{ДШ}}(\eta m^2) - m = 0$.

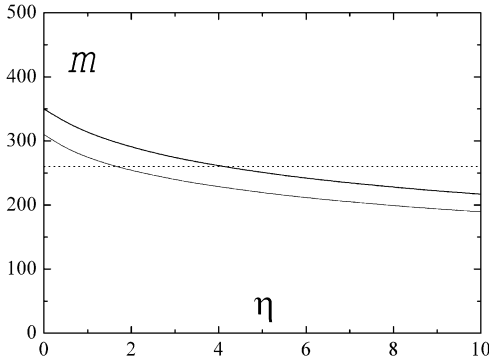


Рис. 3. Полюсная масса кварка m как функция параметра η .

На рис. 3 приведен график полюсной массы кварка в зависимости от величины параметра η . Заштрихованный коридор соответствует набору кривых, для различных точек нормировки. Как видно из этого рисунка, значение полюсной массы слабо зависит от величины параметра η . Выберем “среднее” значение полюсной массы равным 260 МэВ (пунктирная линия на рис. 3). Это значение использовалось в разных подходах, например, в работах [14–17] и определялось из условия согласия результатов теоретических расчетов с соответствующими экспериментальными данными.

Для инвариантного заряда с учетом масштабного параметра η возникают следующие правила схемного пересчета

$$\bar{\alpha}_{MOM}(Q^2) = \bar{\alpha}_{\text{ДШ}}(\eta Q^2), \quad (4)$$

$$\bar{\alpha}_{\overline{MS}}(Q^2) = \bar{\alpha}_{MOM}(k_{MOM \rightarrow \overline{MS}} Q^2) = \bar{\alpha}_{\text{ДШ}}(\eta k_{MOM \rightarrow \overline{MS}} Q^2), \quad (5)$$

$$\bar{\alpha}_V(Q^2) = \bar{\alpha}_{\overline{MS}}(k_{\overline{MS} \rightarrow V} Q^2) = \bar{\alpha}_{\text{ДШ}}(\eta k_{MOM \rightarrow \overline{MS}} k_{\overline{MS} \rightarrow V} Q^2). \quad (6)$$

Полученные выражения могут быть использованы для определения непертурбативного вклада подобно тому, как это делается при анализе результатов решеточных расчетов [12]. Выделяя в (4) обычное пертурбативное слагаемое и ведущий непертурбативный вклад в виде

степенной поправки c_1/Q^2 , находим, что в результате фитирования данных, полученных на основе решения уравнений ДШ, в области $1,2 < Q < 10,0$ ГэВ величина параметра составляет $c_1 \approx 0,51 \text{ ГэВ}^2$, что находится в хорошем согласии со значением, полученным при решеточных вычислениях: $c_1^{\text{lattice}} = 0,63_{-0,16}^{+0,03} \text{ ГэВ}^2$ [12].

Подход. Для описания характеристик ρ -мезона в методе правил сумм КХД необходимо получить выражение для мнимой части коррелятора кварковых токов $R(s)$, причем и в низкоэнергетической области, где теория возмущений (ТВ) встречает серьезные трудности. Одна из этих проблем обусловлена сингулярностями вблизи порога рождения кварковой пары, где нельзя ограничиться конечным порядком ТВ, поскольку в пертурбативном разложении участвует не просто степени α_s , а присутствуют также степени сингулярного фактора $1/v$, где v – скорость кварка. Такие пороговые сингулярности должны быть просуммированы. Для электродинамических систем в нерелятивистском случае это суммирование осуществляет S -фактор. При описании системы легких кварков нерелятивистское выражение неприемлемо. Релятивистское обобщение S -фактора в КХД было получено в работе [17]. Учет S -фактора приводит к модификации выражения для R -функции [18]. После модификации лидирующий “потенциальный” вклад становится доминирующим, а относительный вклад поправки достаточно мал на широком энергетическом интервале. В то время как при использовании ТВ, вклад поправки растет при уменьшении энергетического масштаба и ТВ теряет свою применимость в низкоэнергетической области. Впервые такая модификация была проделана в работе [18] в рамках аналитического подхода [10,11]. Здесь же мы расширяем такой подход на случай, когда инвариантный заряд и массовая функция легких кварков получены на основе непертурбативных решений уравнений ДШ (см. рис. 1 и 2).

ρ -мезон. Метод правил сумм КХД опирается на использование некоторого модельного выражения для $R(s)$ в терминах адронных параметров. Так же, как и в [1,2], будем использовать

$$R^h(s) = \frac{2\pi}{g_\rho^2} m_\rho^2 \delta(s - m_\rho^2) + \left(1 + \frac{\alpha_s^{(0)}}{\pi}\right) \theta(s - s_0) \quad (7)$$

с параметрами $\alpha_s^{(0)} = 0,4 \div 0,5$ и $s_0 \approx 1,5 \text{ ГэВ}^2$. Экспериментальные значения параметров ρ^0 -мезона таковы: $m_\rho = 775,8 \pm 0,5 \text{ МэВ}$ – масса, $g_\rho^2 = 2,36 \pm 0,16$ [3].

Борелевские правила сумм следуют из выражений для моментов

$$M_0(M^2) = \frac{2\pi}{g_\rho^2} m_\rho^2 \exp\left(-\frac{m_\rho^2}{M^2}\right) + \left(1 + \frac{\alpha_s}{\pi}\right) M^2 \exp\left(-\frac{s_0}{M^2}\right), \quad (8)$$

$$M_1(M^2) = \frac{2\pi}{g_\rho^2} m_\rho^4 \exp\left(-\frac{m_\rho^2}{M^2}\right) + \left(1 + \frac{\alpha_s}{\pi}\right) M^4 \left(1 + \frac{s_0}{M^2}\right) \exp\left(-\frac{s_0}{M^2}\right). \quad (9)$$

Моменты определены следующим образом

$$M_k(M^2) = \int_0^\infty ds s^k \exp\left(-\frac{s}{M^2}\right) R(s), \quad (10)$$

где M есть борелевский параметр. Из (8) и (9) для массы ρ -мезона получаем

$$m_\rho^2 = \frac{M_1(M^2) - \left(1 + \frac{\alpha_s}{\pi}\right) M^4 \left(1 + \frac{s_0}{M^2}\right) \exp\left(-\frac{s_0}{M^2}\right)}{M_0(M^2) - \left(1 + \frac{\alpha_s}{\pi}\right) M^2 \exp\left(-\frac{s_0}{M^2}\right)}. \quad (11)$$

Для константы $g_\rho^2(M)$, связанной с электронной шириной распада, возникает два выражения

$$g_{\rho 1}^2 = \frac{2\pi m_\rho^2 \exp(-m_\rho^2/M^2)}{M_0(M^2) - M^2(1 + \alpha_s/\pi) \exp(-s_0/M^2)}, \quad (12)$$

$$g_{\rho 2}^2 = \frac{2\pi m_\rho^4 \exp(-m_\rho^2/M^2)}{M_1(M^2) - M^2(s_0 + M^2)(1 + \alpha_s/\pi) \exp(-s_0/M^2)}. \quad (13)$$

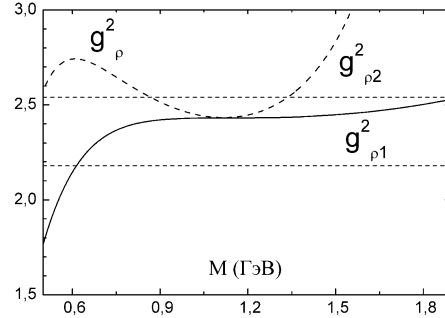
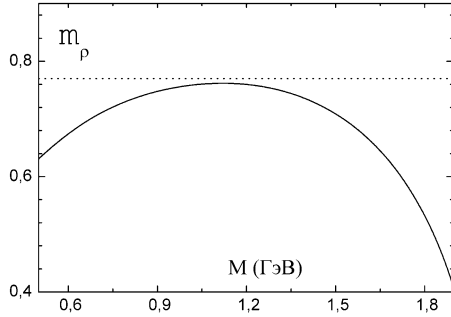


Рис. 4. Поведение $m_\rho(M)$, полученное на основе (11). Горизонтальная линия соответствует экспериментальному значению массы ρ -мезона.

Рис. 5. Функции $g_\rho^2(M)$, определенные в (12) и (13). Горизонтальные линии обозначают экспериментальный коридор.

Результаты, которые получаются из выражений (11), (12) и (13) представлены на рис. 4 и 5. Значения параметров ρ -мезона в области стабильности таковы: $m_\rho = 763 \text{ MeV}$ и $g_\rho^2 = 2,43$. Эти величины хорошо согласуются с приведенными выше экспериментальными данными.

Заключение. Сформулируем основные результаты. Показано, что массовая функция, возникающая в результате непертурбативного решения уравнений ДШ, приводит, с одной стороны, к величине полюсной массы кварка, близкой к конституентной, а, с другой стороны, при больших значениях импульсного аргумента становится малой, что соответствует понятию токовой массы кварка.

Предложен подход определения характеристик ρ -мезона с использованием непертурбативных решений уравнений ДШ. Показано, что развитый метод позволяет хорошо воспроизвести значения массы и электронной ширины распада ρ -мезона без явного введения глюонного и кваркового конденсатов.

Работа выполнена в рамках ГПФИ "Поля и частицы" и Программы сотрудничества между учреждениями Республики Беларусь и Международной межправительственной организацией "Объединенный институт ядерных исследований".

Abstract.

Литература

1. Shifman M.A., Vainshtein A.I., Zakharov V.I., Nucl. Phys. B. – 1979. – Vol. 147, № 5. – P. 385-534.
2. Reinders L.J., Rubinstein H.R., Yazaki S., Phys. Rep. – 1985. – Vol. 127, № 1. – P. 1-97.

3. Particle Data Group, Eidelman S. et al., Phys. Lett. B. – 2004. – Vol. 592. – P. 1.
4. Fisher C.S., Alkofer R., Phys. Lett. B. – 2002. – Vol. 536, № 1-2. – P. 177-184.
5. Bloch J.C., Phys. Rev. D. – 2001. – Vol. 64, № 11. – Art. 116011. – P. 1-11.
6. Fisher C.S., Alkofer R., Phys. Rev. D. – 2003. – Vol. 67, № 9. – Art. 094020. – P. 1-21.
7. Alkofer R., von Smekal L., Phys. Rept. – 2001. – Vol. 353, № 5-6. – P. 281-465.
8. Solovtsov I.L., Phys. Lett. B. – 1994. – Vol. 327, № 4. – P. 335-340.
9. Solovtsov I.L., Phys. Lett. B. – 1994. – Vol. 340, № 4. – P. 245-249.
10. Shirkov D.V., Solovtsov I.L., Phys. Rev. Lett. – 1997. – Vol. 79, № 7. – P. 1209-1212.
11. Соловцов, И.Л., Ширков Д.В. // Теоретическая и математическая физика. – 1999. – Т. 120, № 3. – С. 482-510.
12. Boucaud P. et al., J. High Energy Phys. – 2000. – Vol. 004, Art. № 006.
13. Fischler W., Nucl. Phys. B. – 1977. – Vol. 129, № 1. – P. 157-174; Appelquist T., Dine M., Muzinich I.J., Phys. Lett. B. – 1977. – Vol. 69, № 2. – P. 231-236.
14. Sanda A.I., Phys. Rev. Lett. – 1979. – Vol. 42, № 25. – P. 1658-1661.
15. Sakurai J.J., Scilcher K., Tran M.D., Phys. Lett. B. – 1981. – V. 102, № 1. – P. 55-58.
16. Sissakian A.N., Solovtsov I.L., Solovtsova O.P. // Письма в ЖЭТФ. – 2001. – Т. 73, № 4. – С. 186-189.
17. Milton K. A., Solovtsov I.L., Mod. Phys. Lett. A. – 2001. – Vol. 16, № 34. – P. 2213-2219.
18. Milton K.A., Solovtsov I.L., Solovtsova O.P., Phys. Rev. D. – 2001. – Vol. 64, № 1. – P. 016005-1 – 016005-6.

Гомельский государственный технический
университет имени П. О. Сухого

Поступило